

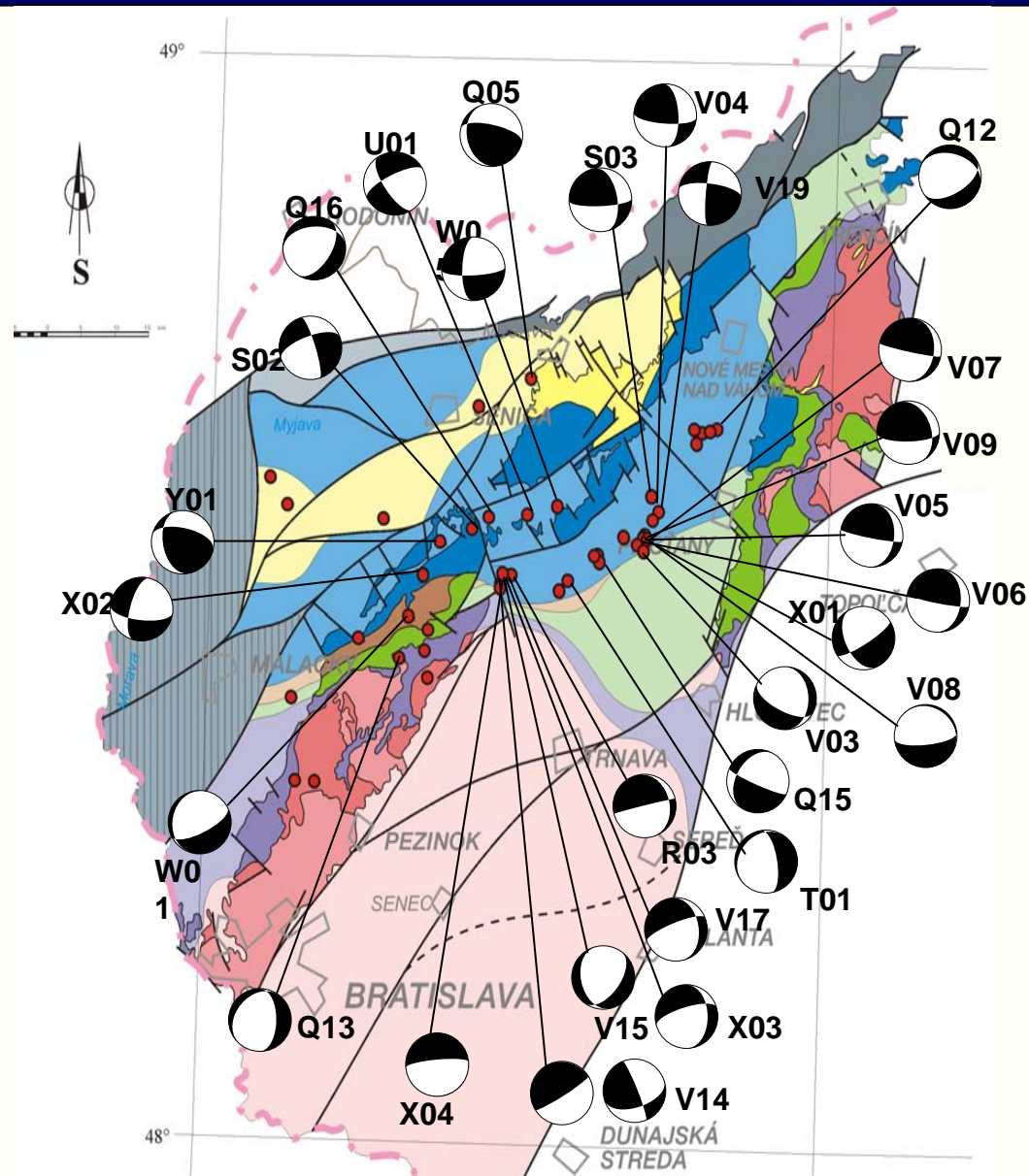
# **Niektoré metodologické aspekty určenia ohniskových mechanizmov slabých lokálnych zemetrasení inverziou vlnového pol'a**

**Aplikácia na dátá z oblasti  
Malých Karpát**

Lucia Fojtíková, Miriam Kristeková, Václav Vavryčuk

# Metódy určenia ohniskových mechanizmov

- určenie mechanizmu zo znamienok prvých nasadení - FOCMEC
- určenie momentových tenzorov z amplitúd P vĺn - AMT
- určenie momentových tenzorov z vlnových obrazov - ISOLA



# Invezria z vlnových obrazov

Najviac diskutovaná metóda inverzie pre slabé javy

## Výhody

- Umožňuje získať mechanizmus z malého množstva staníc

## Nevýhody

- veľmi citlivá na dátá
  - veľmi citlivá na model
- => Použitie S a povrchových vĺn

Na určenie dolného intervalu frekvencií pri inverzii použitá  
časovo-frekvenčná analýza

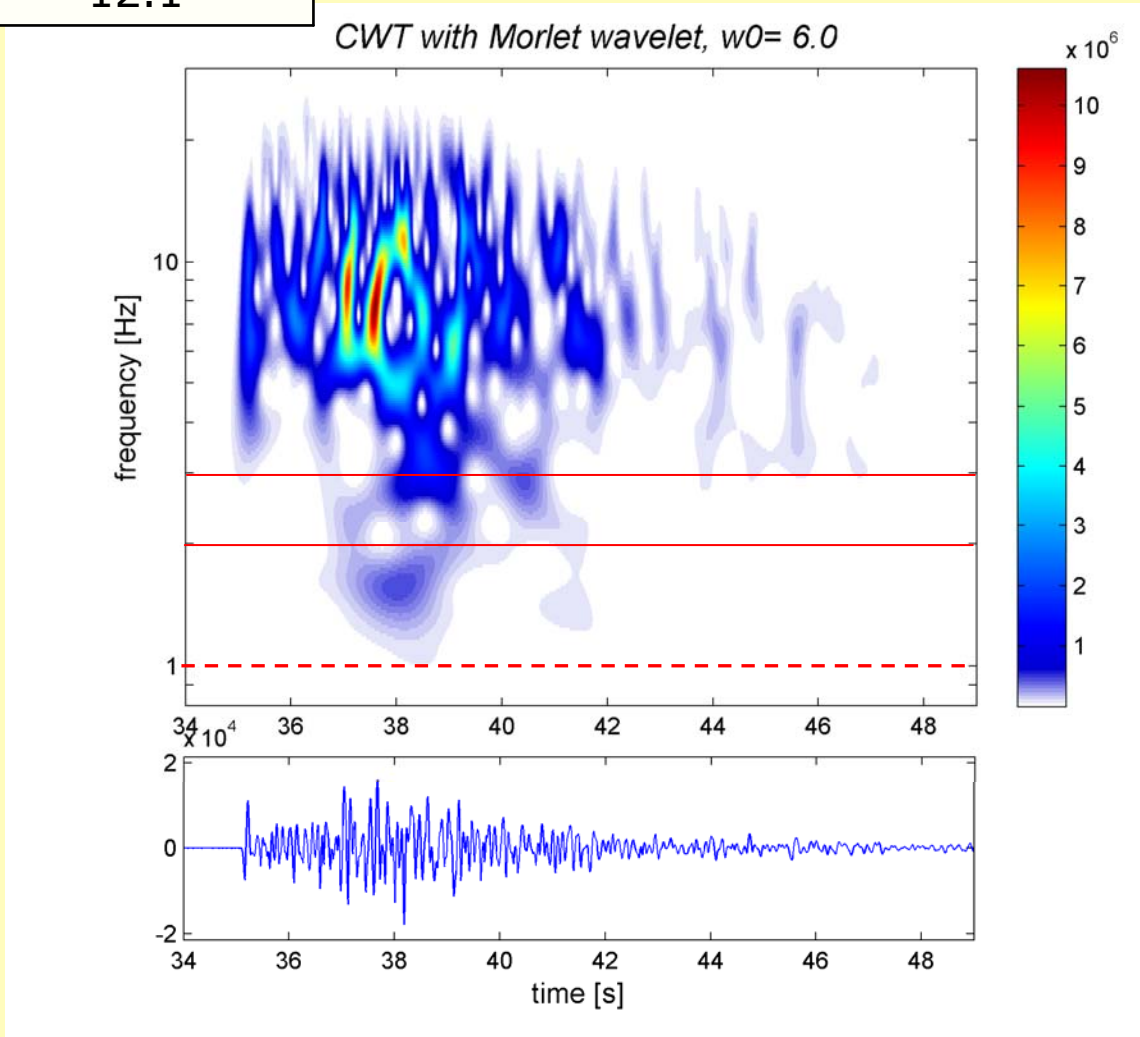
**Continuous Wavelet Transform**  
*(program RCWT, Kristekova et al 2006)*

# Časovo-frekvenčná analýza

azimuth [°]	distance [km]
9.2	12.1

HRA-Z

CWT with Morlet wavelet,  $w_0 = 6.0$

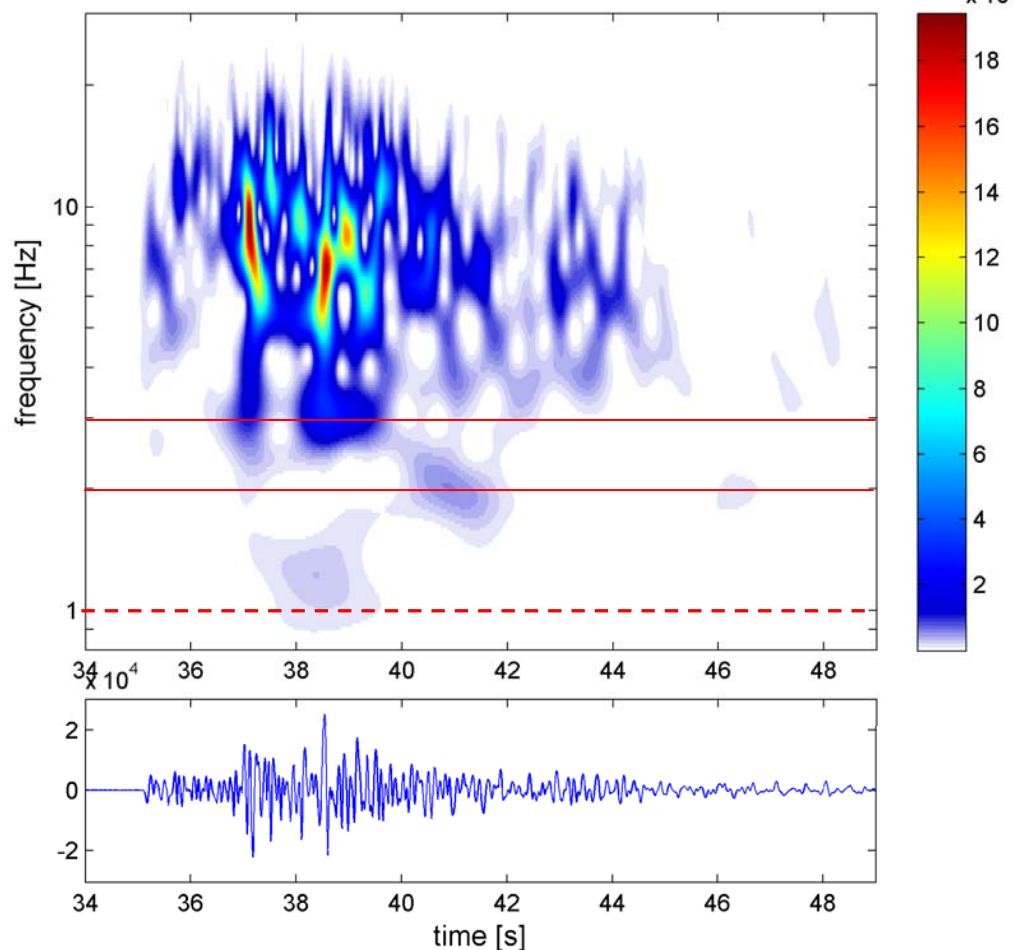


# Časovo-frekvenčná analýza

azimuth [°]	distance [km]
9.2	12.1

HRA-N

CWT with Morlet wavelet,  $w_0 = 6.0$

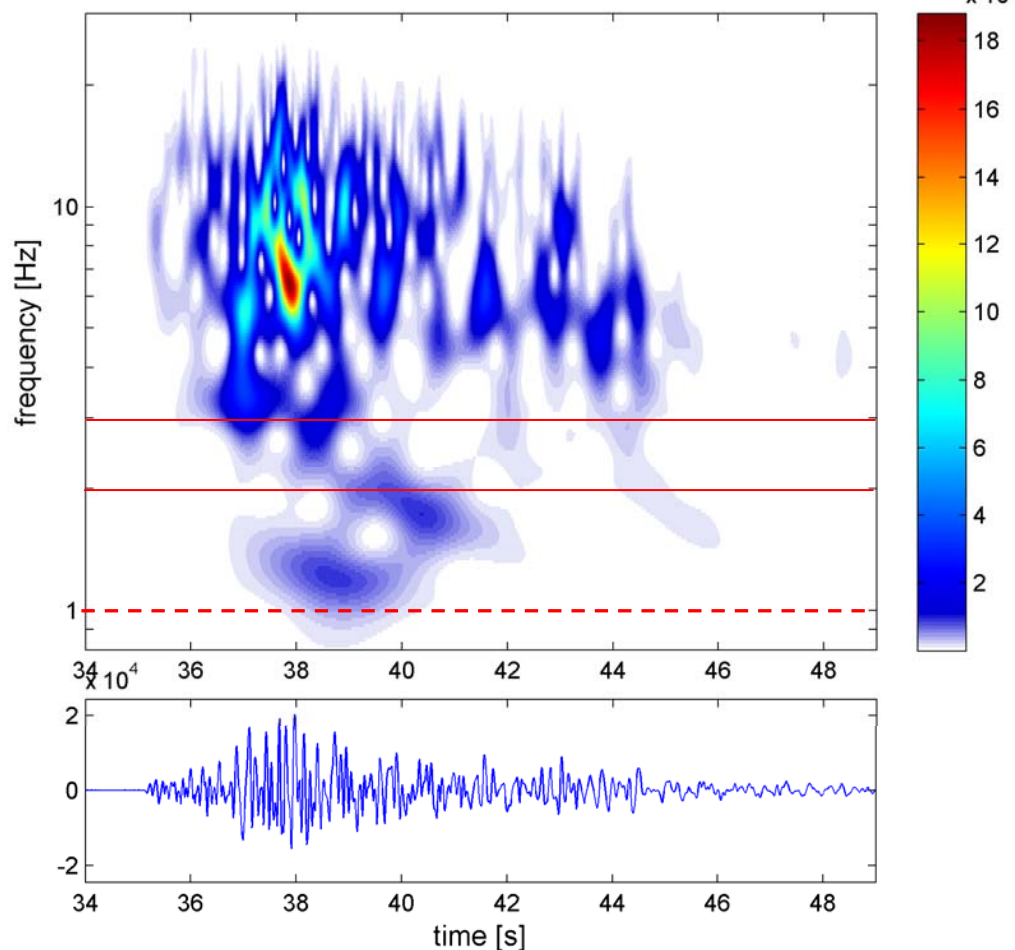


# Časovo-frekvenčná analýza

azimuth [°]	distance [km]
9.2	12.1

HRA-E

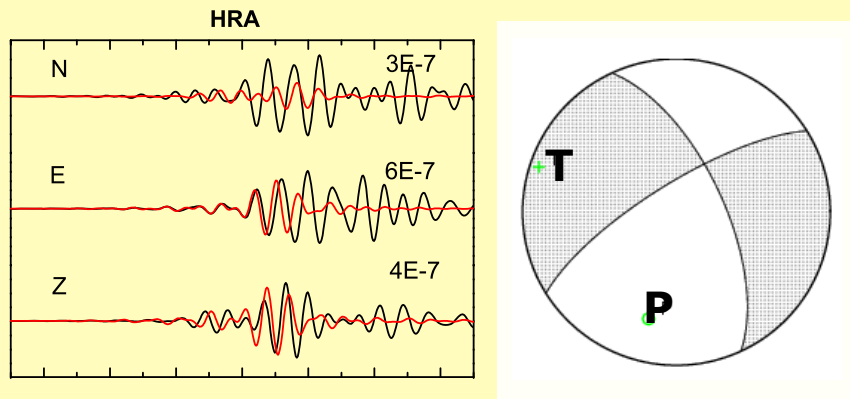
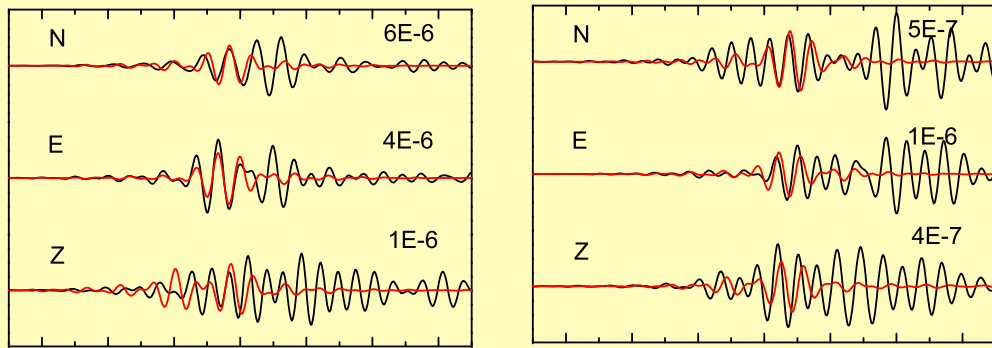
CWT with Morlet wavelet,  $w_0 = 6.0$



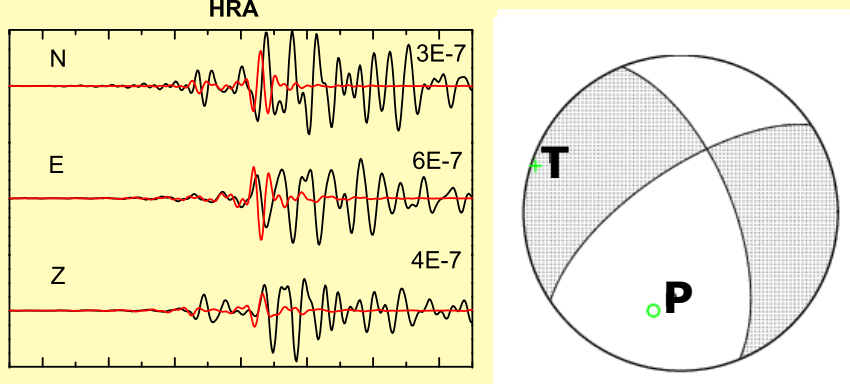
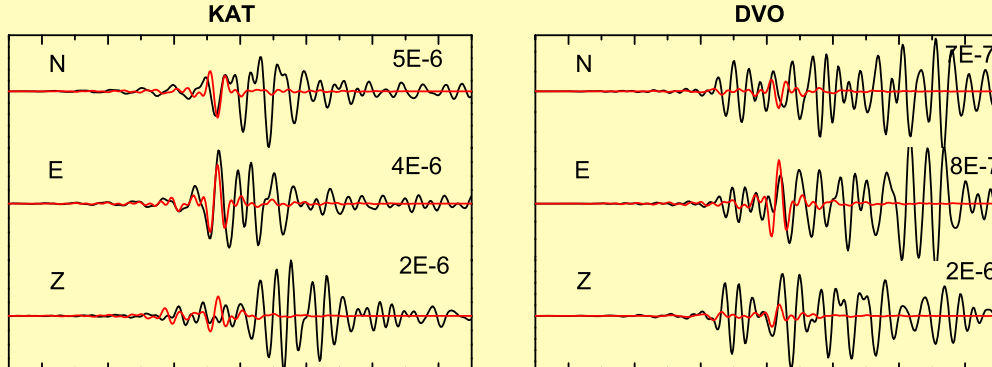
# Inverzia z vlnových obrazov pre 3 stanice: KAT, DVO a HRA

station	azimuth [°]	distance [km]
KAT	59.0	7.2
DVO	25.8	11.2
HRA	9.2	12.1

band-pass filter 1.2 -1.8 Hz



band-pass filter 1.2 -3.0 Hz



V14 Lat=48.516

Lon=17.680

h=5.23

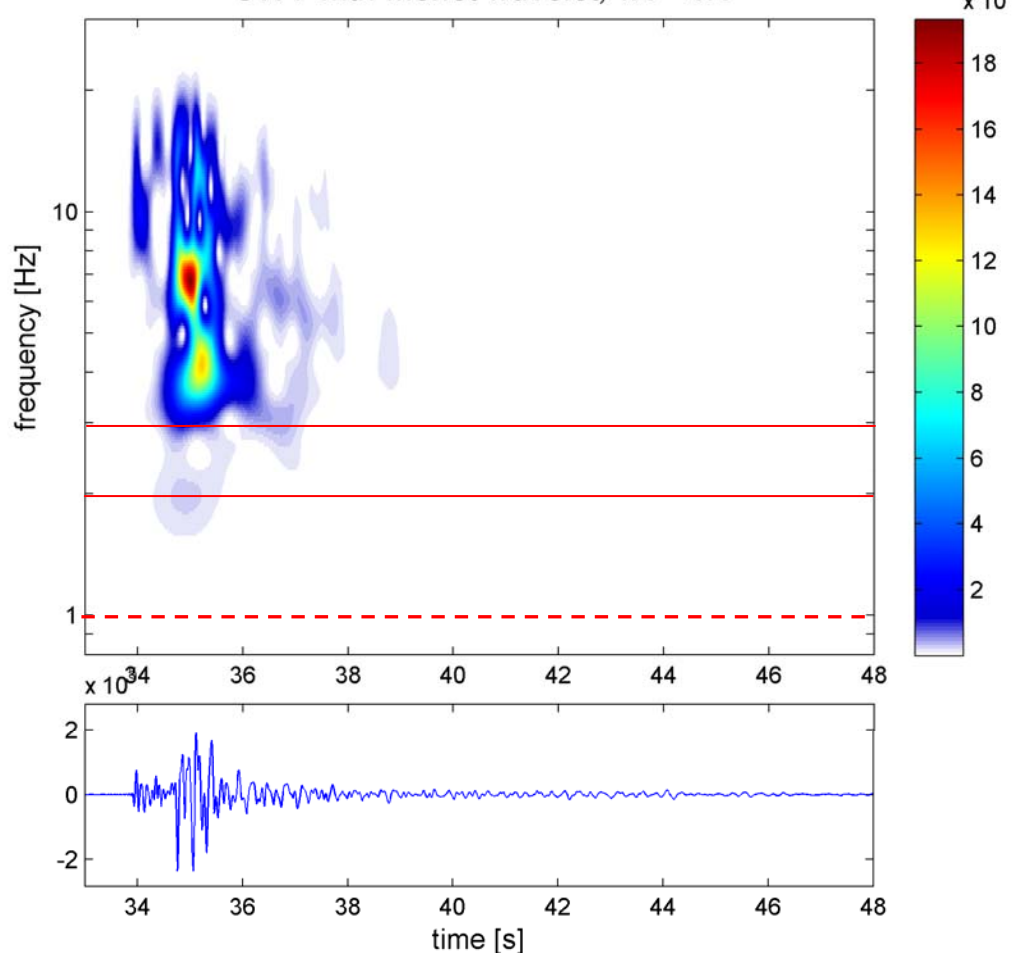
MI=2.2

# Časovo-frekvenčná analýza

azimuth [°]	distance [km]
265.0	2.7

SMO-Z

CWT with Morlet wavelet, w0= 6.0

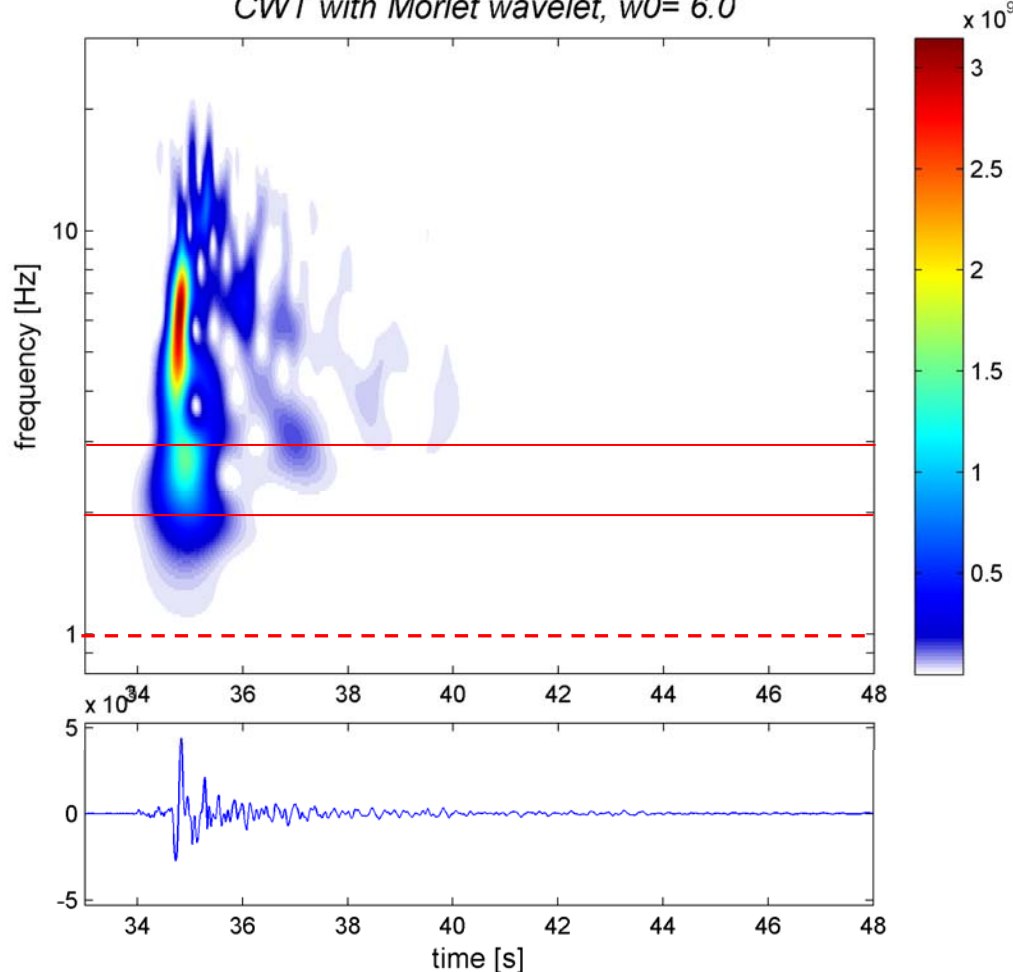


# Časovo-frekvenčná analýza

azimuth [°]	distance [km]
265.0	2.7

SMO-N

CWT with Morlet wavelet,  $w_0 = 6.0$

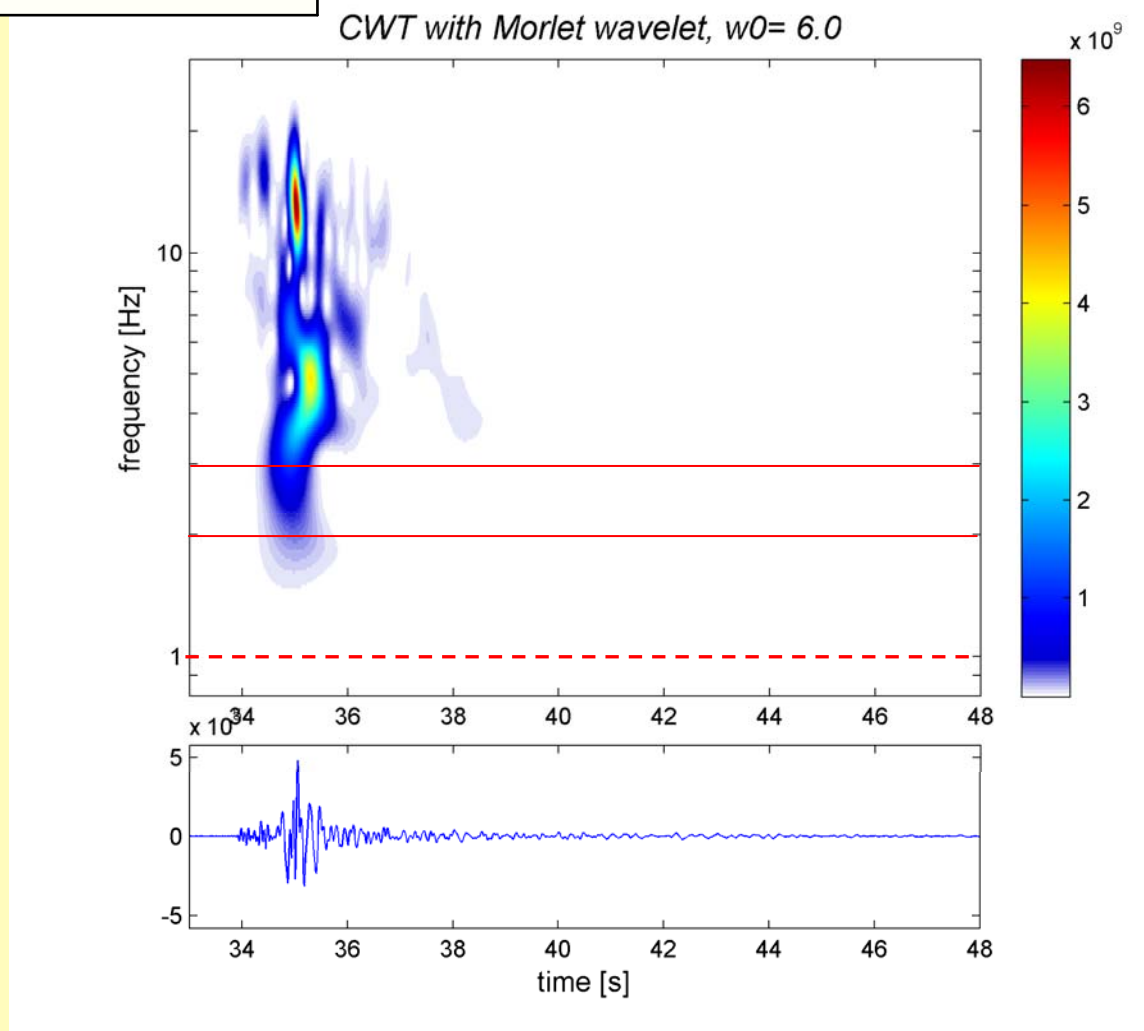


# Časovo-frekvenčná analýza

azimuth [°]	distance [km]
265.0	2.7

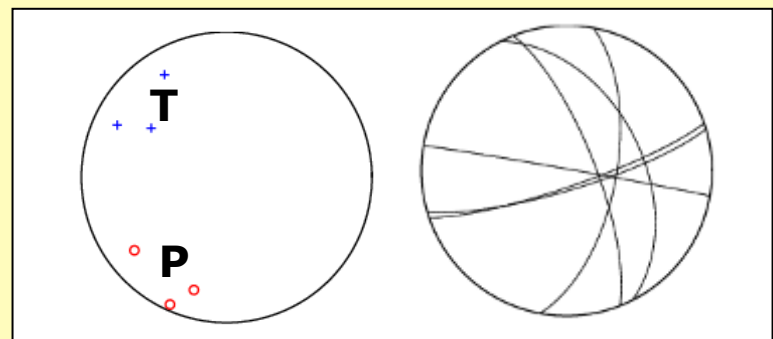
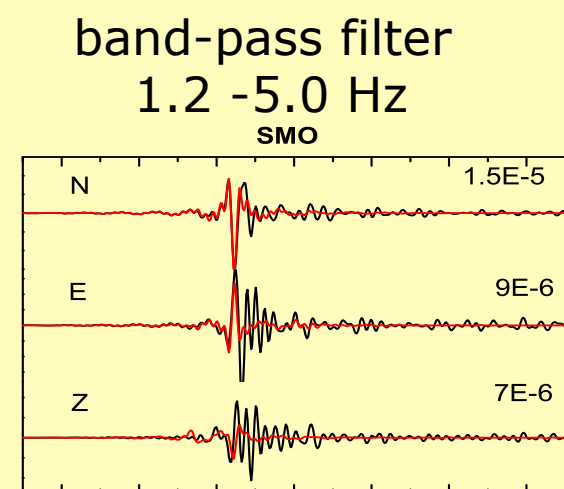
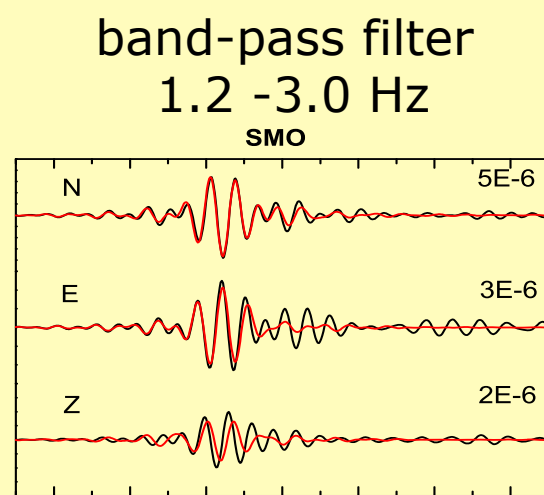
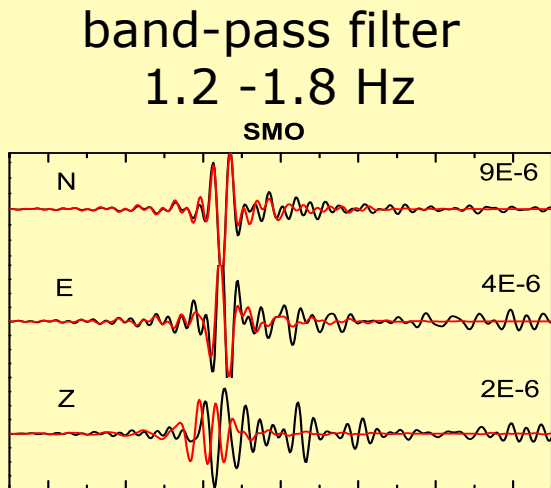
SMO-E

CWT with Morlet wavelet,  $w_0= 6.0$

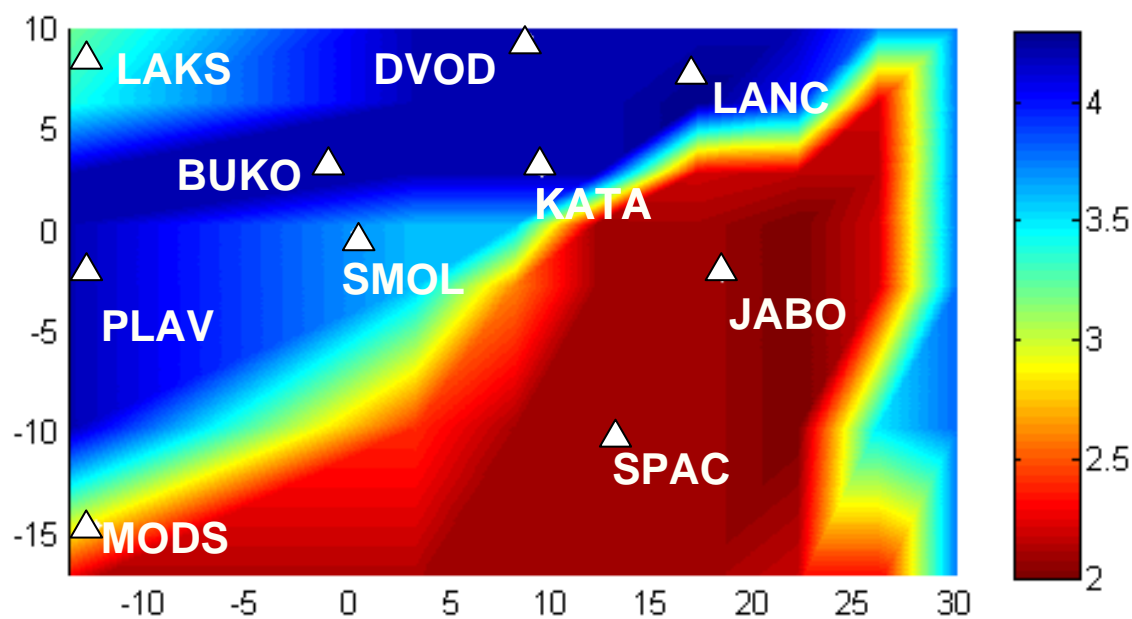
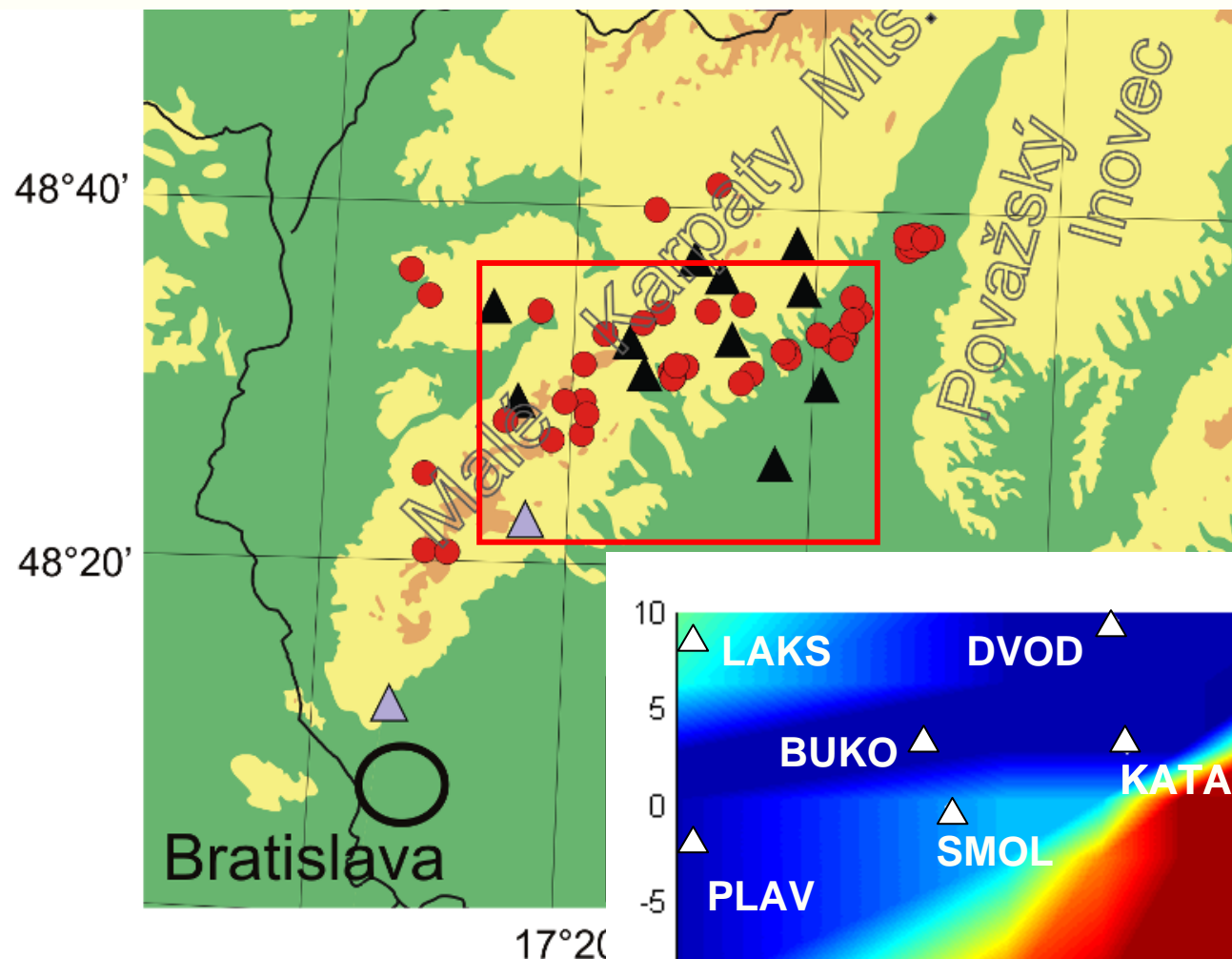


# Inverzia z vlnových obrazov pre 1 stanicu: SMO

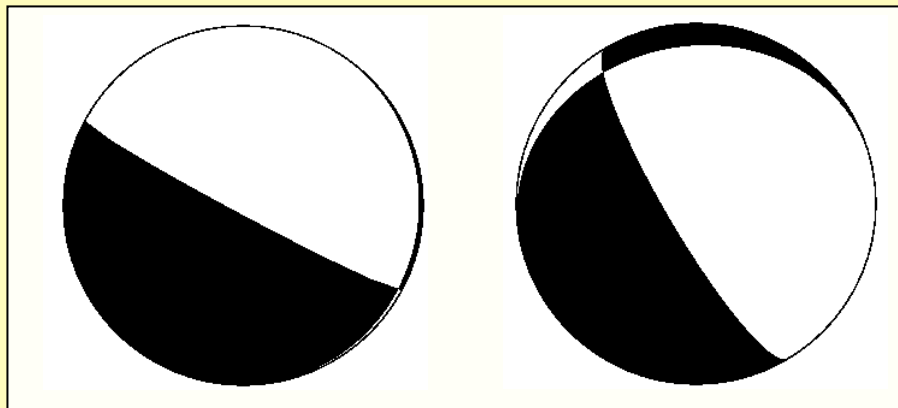
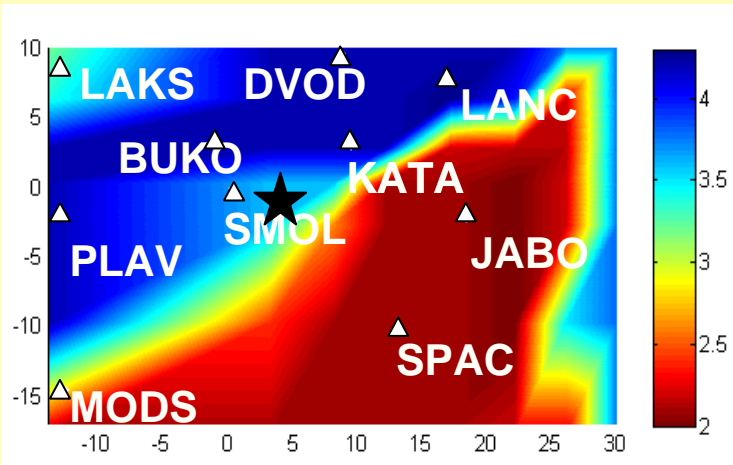
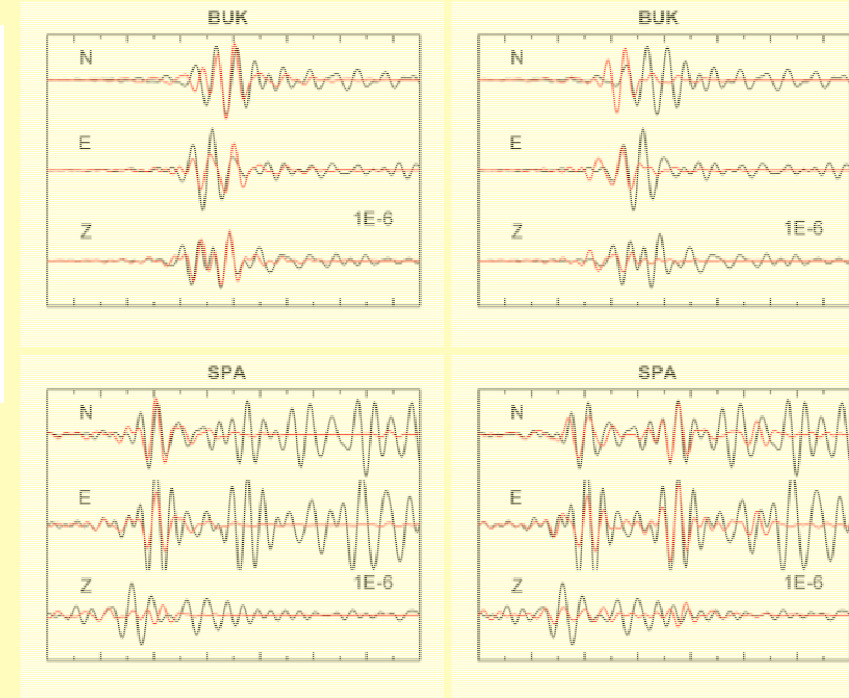
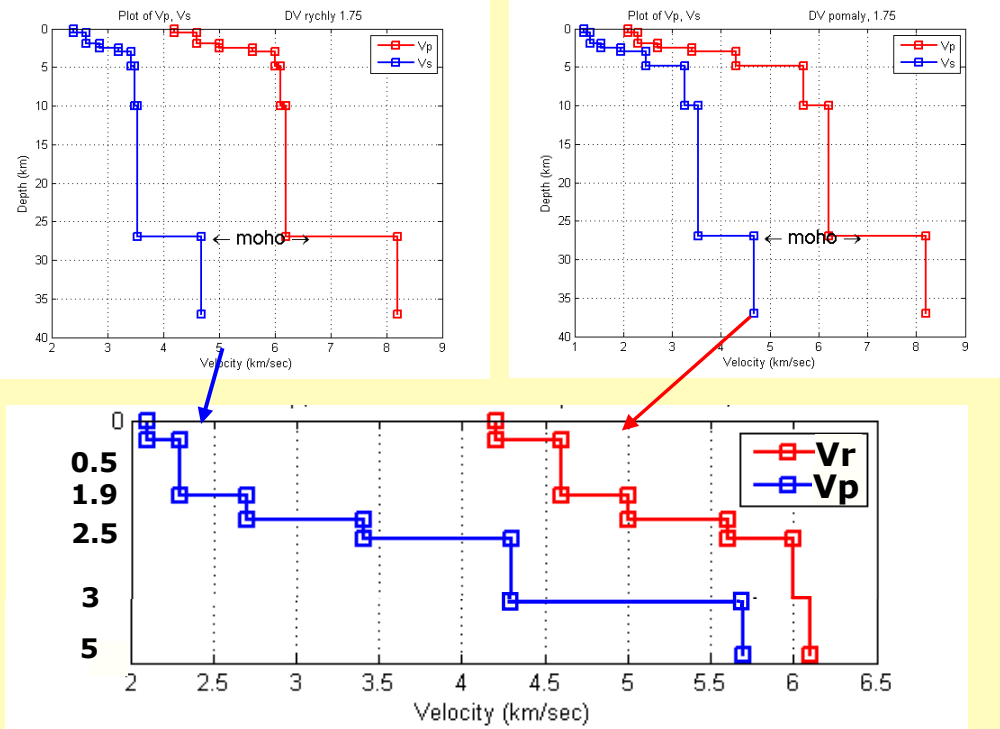
station	azimuth [°]	distance [km]
SMO	265.0	2.7



# Malé Karpaty

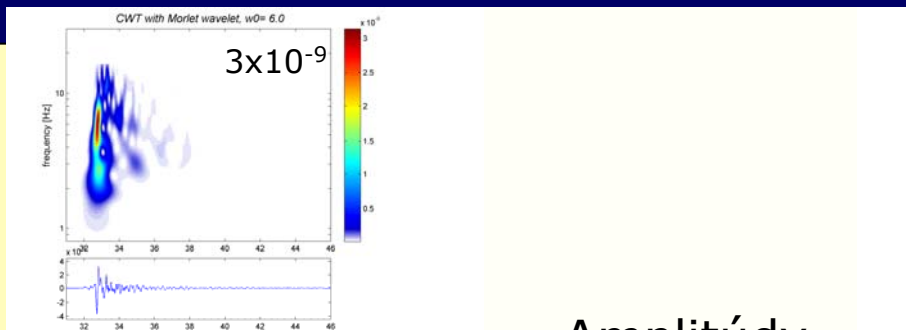


# Vplyv modelov prostredia

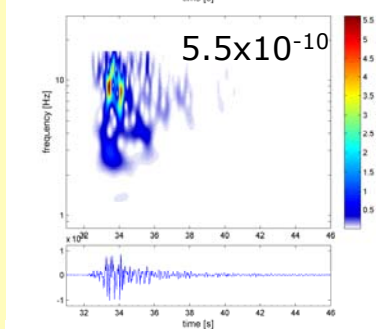


# Využitie TFA na určenie anomálie v seizmickom zázname

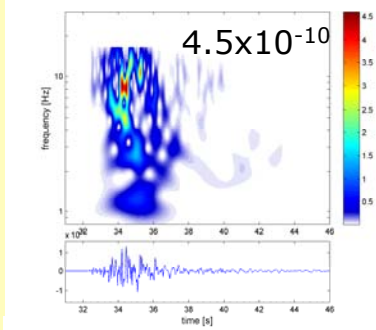
SMO 2.7 km



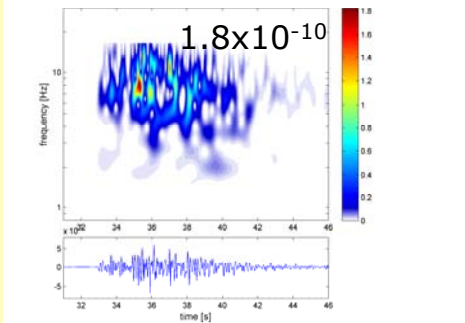
BUK 5.3 km



KAT 7.2 km



DVO 11.2 km

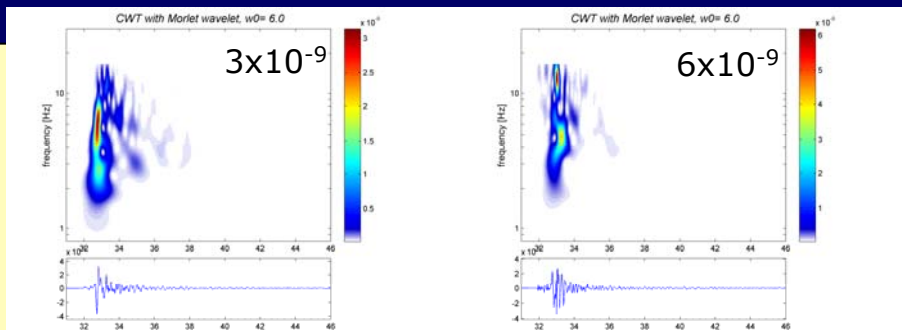


Amplitúdy  
so vzdialenosťou  
klesajú

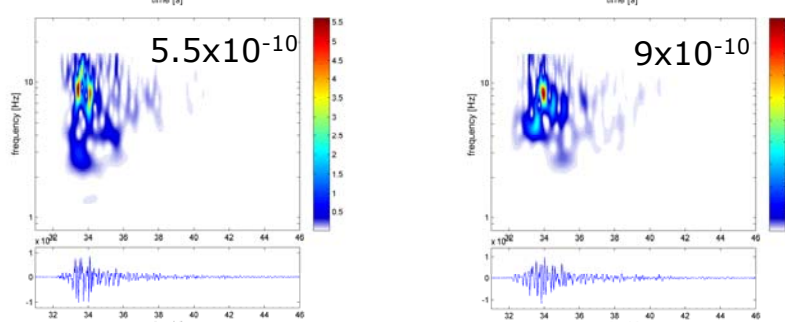
Trvanie pohybu  
sa predlžuje

# Využitie TFA na určenie anomálie v seizmickom zázname

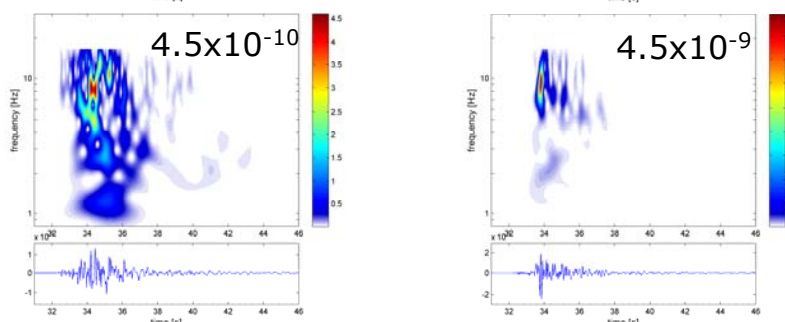
SMO 2.7 km



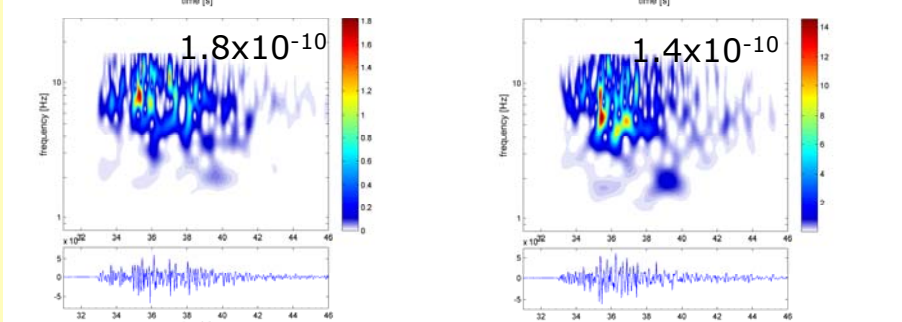
BUK 5.3 km



KAT 7.2 km

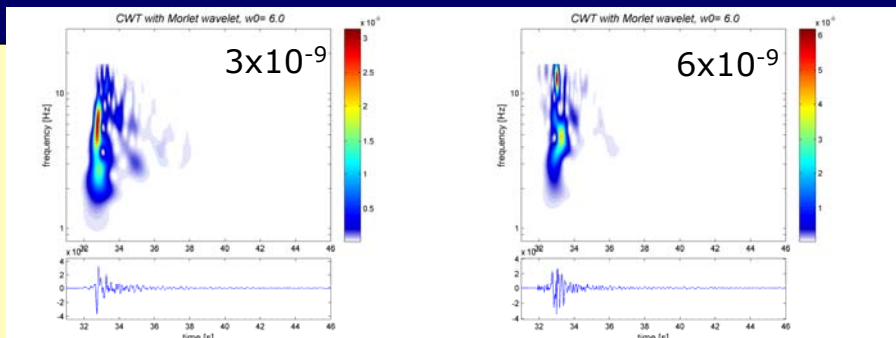


DVO 11.2 km

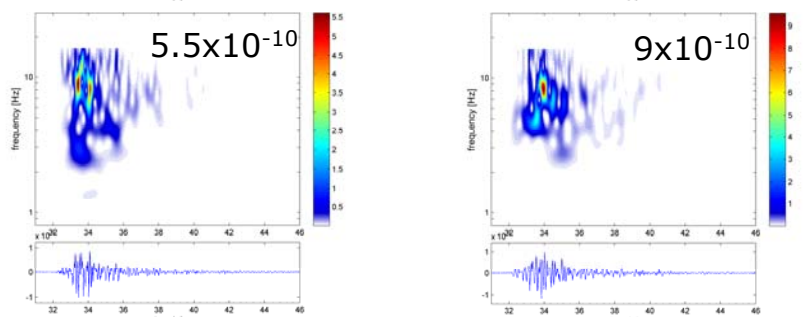


# Využitie TFA na určenie anomálie v seismickom zázname

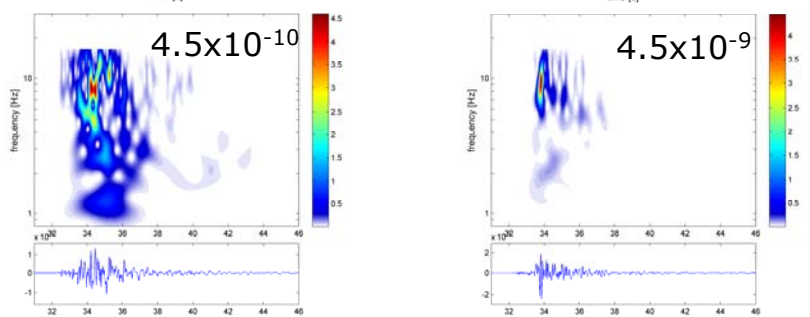
SMO 2.7 km



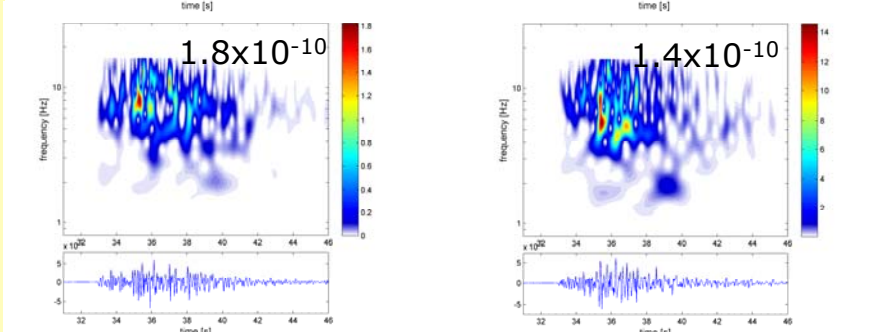
BUK 5.3 km



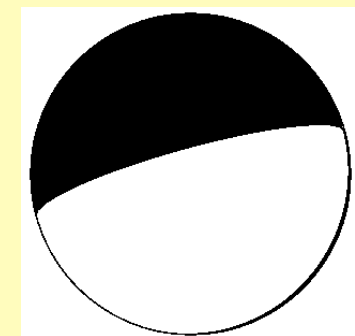
KAT 7.2 km



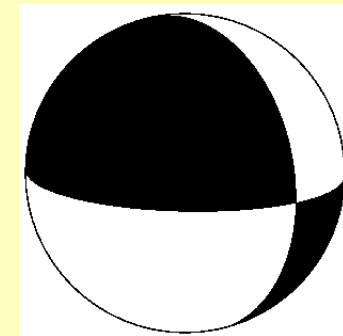
DVO 11.2 km



Inverzia s  
E zložkou  
KAT



Inverzia bez  
E zložky  
KAT



# Závery

- inverzia v intervale 1Hz-2Hz je „legálna“  
lebo v seismogramoch bol identifikovaný seismický signál  
na týchto frekvenciách a nie len šum
- rôzne vhodne zvolené intervaly inverzie dali podobné  
výsledky aj keď zhodnosť syntetických a reálnych  
seismogramov pre vyššie frekvencie klesá
- modely prostredia majú značný vplyv na inverziu MT  
z vlnových obrazov
  - časovo-frekvenčná analýza – vhodný nástroj na  
identifikovanie anomálií v seismickom pohybe
- rôzna úroveň zhody pre rovnaký jav a rôzne stanice a tiež  
časovo-frekvenčná reprezentácia seismických záznamov  
indikuje signifikantné laterálne variácie rýchlosťí v tomto  
regióne
- z analýz vyplynula nutnosť **dobrej znalosti modelu prostredia**

A photograph of a field filled with small, delicate blue flowers, likely cornflowers, growing in tall green grass. A narrow, dirt path or track cuts through the flowers from the bottom right towards the center. In the background, there is a dense line of green trees and bushes under a clear, light-colored sky.

Vd'aka  
FP7 AIM "Advanced Industrial  
Microseismic Monitoring",  
Grant Agreement No. 230669